

مطالعه عددی تأثیر عدد رینولدز و زاویه شیب سطح بر رفتار قطرات در جریان روی سطح شیب دار در نسبت های چسبندگی بالا

محمد جواد آبروی^{*} و سعید مرتضوی

دانشکده مهندسی مکانیک، دانشگاه صنعتی اصفهان، اصفهان

(دریافت مقاله: ۱۳۹۲/۸/۱۱ - دریافت نسخه نهایی: ۱۳۹۳/۳/۱۰)

چکیده - تأثیر عدد رینولدز و زاویه شیب سطح بر رفتار قطرات معلق در جریان روی سطح شیب دار در نسبت های چسبندگی بالا برای اعداد رینولدز غیر صفر به صورت عددی مطالعه شده است. جریان بر روی سطح شیب دار تنها به دلیل شتاب گرانش وجود دارد و هیچگونه گرادیان فشاری در راستای جریان وجود ندارد. مطالعات انجام شده حاکی از آن است که با افزایش عدد رینولدز قطراتی که نزدیک کف کanal یا سطح آزاد هستند به سمت مرکز کanal مهاجرت می کنند و فاصله تعادلی قطرات از دیواره کanal افزایش می یابد. انرژی اغتشاشی نیز افزایش می یابد. افزایش زاویه شیب سطح نسبت به افق تأثیر مشابه افزایش عدد رینولدز دارد. با افزایش زاویه شیب سطح نسبت به افق، قطرات نزدیک کف کanal یا سطح آزاد به سمت مرکز کanal مهاجرت می کنند، فاصله تعادلی قطرات از دیواره کanal افزایش می یابد و انرژی اغتشاشی نیز افزایش می یابد.
واژگان کلیدی: قطره، عدد رینولدز، زاویه سطح شیب دار، انرژی اغتشاشی، مکان تعادلی.

A Numerical Study of Effect of Reynolds Number and Inclination Angle on the Behavior of Drops on an Inclined Surface at High Viscosity Ratio

M. J. Aberuee^{*} and S. Mortazavi

Department of Mechanical Engineering, Isfahan University of Technology

Abstract: The effect of Reynolds number and inclination angle on the behavior of drops suspended on an inclined surface at high viscosity ratio is studied by numerical simulations at non-zero Reynolds number. The flow is driven by the acceleration from gravity without any pressure gradient in the flow direction. It is found that by increasing Reynolds number, drops close to the floor or close to the free surface move to the center of channel and the equilibrium position moves away from the channel floor, increasing the fluctuation energy as well. The same trend is observed when the inclination angle with respect to horizontal direction increases. That is, when the inclination angle of the channel with respect to horizontal direction increases, drops close to the floor or close to the free surface move to center of the channel. The equilibrium position moves away from the channel floor and fluctuation energy increases.

Keywords: Drop, Reynolds number, inclination angle, fluctuation energy, equilibrium position.

*: مسئول مکاتبات، پست الکترونیکی: mj.aberuee@me.iut.ac.ir

فهرست علائم

| | | | |
|--------------------------------------|-----------|----------------------------------|--------|
| کشش سطحی | σ | میدان سرعت | u |
| انحناء یا تحدب مرز | κ | عدد پرانتل | P |
| تابع دلتای دیراک | δ | بردار یکه خارجی عمود بر سطح قطره | n |
| نسبت چگالی سیال قطره به سیال محیطی | λ | مکان در سیستم مختصات اوبلری | x |
| نسبت چسبندگی سیال قطره به سیال محیطی | γ | مکان سطح مشترک در سیستم مختصات | X |
| زاویه شیب سطح شیدار | α | لاگرانژی | |
| بالنویس‌ها | | المان سطح مشترک | s |
| ‘ مؤلفه نوسانی | | عدد رینولدز | Re |
| زیرنویس‌ها | | عدد کاپیلاری ^۱ | Ca |
| کانال | c | سرعت مشخصه | U |
| گرانولار | G | شعاع قطرات | a |
| سیال قطره | i | دما | T |
| سیال محیطی | o | شتاب گرانش | g |
| مؤلفه در راستای جريان | x | علام بونانی | |
| مؤلفه عمود بر جريان | y | چگالی | ρ |
| | | لزجت دینامیکی | μ |

صورت کوچک بودن نسبت چسبندگی، قطرات به سمت مرکز لوله حرکت می‌کنند، اما در صورتی که نسبت چسبندگی زیاد باشد، قطرات مانند ذرات جامد رفتار کرده و در یک فاصله مشخص از مرکز کانال به تعادل می‌رسند [۳، ۴ و ۵]. در حالی که تحقیقات گلد اسمیت و میسون، تنها به بررسی رفتار یک قطره محدود شده بود، کوالسکی رفتار قطرات در جريان دو فازی را برای اعداد رینولدز محدود بررسی نمود. او نشان داد که قطرات برای نسبت چسبندگی پایین در مرکز و برای نسبت چسبندگی بالا در نزدیک دیواره تمرکز می‌یابند [۶]. چنان و لیل توانستند تئوری مناسبی برای مهاجرت جانبی قطرات با اندازه و تغییر شکل کوچک در جريان پواسل و کوئت^۲ ارائه کنند. آنها توانستند حل کاملی برای سرعت مهاجرت ذرات در جريان کوئت بدست آورند. چنان و لیل پیش‌بینی کردند که در جريان کوئت به دلیل تأثیر دیواره‌ها قطرات همواره به سمت مرکز کانال حرکت می‌کنند [۷]. با گسترش تکنولوژی و ساخت کامپیوترهای پرسرعت،

بررسی حرکت ذرات و قطرات در نیم قرن اخیر مورد توجه ویژه‌ای قرار گرفته است. در ابتدا به دلیل نبود امکانات مناسب برای انجام تحلیل‌های عددی، تنها بررسی‌های آزمایشگاهی و تحقیقات تحلیلی راه‌گشا بودند.

اولین تلاش‌های آزمایشگاهی در این زمینه توسط سگر و سیلبربرگ انجام شد. آنها در سال ۱۹۶۱ به وسیله آزمایش بروی یک مایع رقیق با ذرات معلق جامد بدون در نظر گرفتن نیروی شناوری برای محدوده وسیعی از اعداد رینولدز و اندازه قطرات، موفق به بررسی اثر اینرسی حرکت ذرات به طور تجربی شدند. آنها متوجه شدند که ذرات دوفازی در جريان پواسل^۳ برای اعداد رینولدز محدود در یک فاصله مشخص از مرکز کانال به تعادل می‌رسند [۱ و ۲].

كارنس، گلداسمیت و میسون در سال ۱۹۶۶ با انجام تحقیقات آزمایشگاهی بروی ذرات جامد و قطرات شکل پذیر این اثر را بیشتر مورد مطالعه قرار دادند. آنها دریافتند که در

در این روش میدان جریان توسط یک تقریب تفاضل محدود بقایی بر روی شبکه ساکن و جبهه، توسط یک شبکه جداگانه و نامنظم که درون شبکه ساکن حرکت می‌کند، گستته سازی شد [۱۳].

در سال ۲۰۰۰ مرتضوی و تریگواسون حرکت یک قطره تنها در جریان پواسل برای اعداد رینولذ محدود را با استفاده از روش پی‌جوبی جبهه^۴ مورد بررسی قرار دادند. آنها حرکت قطره را به صورت تابعی از عدد رینولذ، ویر و نسبت چسبندگی بررسی کردند [۱۴].

کمپل و برنن جریان گرانولار روی سطح شبکه دار را به صورت دو بعدی شبیه سازی کردند. آنها توزیع سرعت و چگالی ذرات را با آنالیزهای تئوری و نتایج آزمایشگاهی مقایسه کردند و متوجه شدند که رفتار جریان به شدت به دمای گرانولار بستگی دارد [۱۵].

مرتضوی، عباسپور و افشار حرکت قطرات معلق در جریان برشی ساده را بررسی کرده و دریافتند که حرکت قطرات شکل پذیر به سمت مرکز کانال در اعداد رینولذ کوچک با نتایج آزمایشگاهی مطابق است، اما برای اعداد رینولذ بالا و تغییر شکل کوچک، قطره در یک مکان تعادلی دور از مرکز قرار می‌گیرد [۱۶].

نوربخش و مرتضوی حرکت قطرات شکل پذیر در جریان پواسل را برای اعداد رینولذ غیر صفر مورد مطالعه قرار دادند. آنها توزیع چگالی قطرات در عرض کانال را به وسیله پارامترهایی از قبیل عدد رینولذ و کاپیلاری مورد بررسی قرار دادند [۱۷].

در این مقاله تأثیر عدد رینولذ و زاویه شبکه سطح بر رفتار قطرات در جریان روی سطح شبکه دار در نسبت‌های چسبندگی بالامورد بررسی قرار گرفته است.

۲- هندسه، معادلات حاکم، فرضیات حاکم و اعداد بدون بعد

هندسه مسئله مورد بررسی در این مقاله در شکل (۱) نشان داده

روش‌های عددی پیشرفت چشمگیری داشتند به گونه‌ای که در حال حاضر اکثر بررسی‌ها در این زمینه توسط تحلیل‌های عددی انجام می‌شود.

بردی و بوژیس توانستند ذرات کروی در جریان استوکس را شبیه‌سازی عددی کنند و نشان دهنده که ذرات از ناحیه با برش بالا به سمت ناحیه با برش پایین پخش می‌شوند. آنها همچنین یک زمان بی بعد برای تعادل هیدرودینامیکی ارائه کردند [۸].

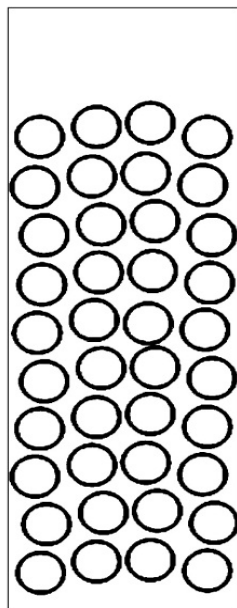
زو و پوزریکیدیس با استفاده از روش عددی انتگرال مرزی توانستند حرکت قطرات شناور را در یک کانال پریودیک به صورت تابعی از عدد موئینگی، نسبت چسبندگی و اندازه قطره بررسی کنند. آنها پی بردنده که چسبندگی مؤثر با افزایش نرخ برش کاهش می‌یابد [۹].

زو و پوزریکیدیس شبیه سازی‌هایی از یک قطره و مایعات با ذرات معلق شامل دوازده قطره با آرایش منظم در جریان پواسل انجام دادند. آنها مشاهده کردند که قطرات از دیوار دور می‌شوند و برای نسبت چسبندگی یک به سمت مرکز کانال حرکت می‌کنند [۱۰].

چالز و پوزریکیدیس با بررسی مایعات با قطرات معلق مایع دو بعدی در عدد رینولذ صفر، اثر نسبت چسبندگی را برروی خصوصیات جریان به دست آورden. آنها مشاهده کردند با زیاد شدن چسبندگی قطرات، قطرات شبیه ذرات جامد رفتار می‌کنند. همچنین تشکیل کلامسترها و تمرکز ذرات در یک ناحیه جریان در داخل کانال اهمیت بیشتری پیدا می‌کند [۱۱].

لونبرگ و هینچ یک مایع با قطرات معلق سه بعدی را در یک جریان برشی در نسبت‌های حجمی بزرگ برای عدد رینولذ صفر مورد مطالعه قرار دادند. آنها مشاهده کردند مایع با ذرات معلق رفتار نازک شوندگی برشی از خود نشان می‌دهد [۱۲].

تریگواسون و آنورده جریان‌های چندسیالی غیر دائم را توسط روش جدیدی که در آن یک جبهه سیالات با چگالی‌ها و چسبندگی‌های مختلف را از هم جدا می‌کند، شبیه سازی کردند.



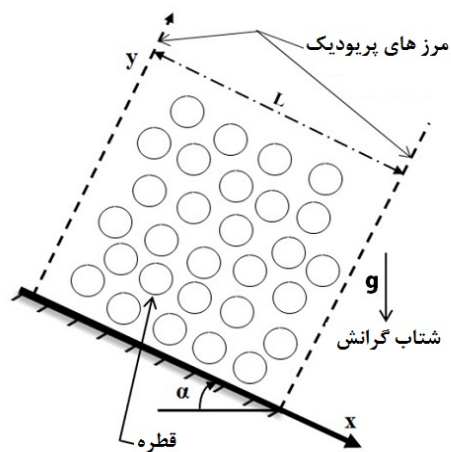
شکل ۲- آرایش اولیه قطرات در زمان صفر

$$\nabla \cdot (\mathbf{u}) = 0 \quad (2)$$

علاوه بر در نظر گرفتن اختلاف موجود در خصوصیات فازهای میدان چند فازی، باید پدیده‌های سطح مشترک فازهای میدان چند فازی (مانند کشش سطحی) نیز با اضافه کردن جمله‌های مناسب به معادلات حاکم در نظر گرفته شوند. پدیده‌های سطح مشترک فازهای میدان چند فازی همواره در مرز بین فازها وجود دارند. جمله‌های مشخص کننده این پدیده‌ها به کمک تابع دلتای دیراک بیان می‌شوند. معادلات ناویر استوکس در فرمی که برای یک میدان چند فازی معتبر باشند عبارتند از:

$$\frac{\partial}{\partial t}(\rho \mathbf{u}) + \nabla \cdot (\rho \mathbf{u} \mathbf{u}) = -\nabla P + \nabla \left[\mu (\nabla \mathbf{u} + \nabla \mathbf{u}^T) \right] - f(\sigma_{Kn}) \delta(x - X(s, t)) ds + \rho g \quad (3)$$

در رابطه فوق P معرف میدان فشار، μ لرجت دینامیکی سیال، σ_{Kn} کشش سطحی، \mathbf{n} انحنای سطح، \mathbf{u} بردار یکه عمود بر سطح، s تابع دلتای دیراک، x مکان در سیستم مختصات اویلری، X مکان در سیستم مختصات لاغرانژی و g شتاب گرانش است. سرعت مشخصه جریان بر حسب شتاب گرانش،



شکل ۱- هندسه مسئله

شده است. چهل قطره که از پایین به یک دیوار شیبدار محدود شده‌اند و از بالا با سطح آزاد در ارتباط هستند تحت تأثیر شتاب گرانش به صورت غوطه‌ور در یک سیال خارجی بر روی سطح شیبدار حرکت می‌کنند. شرایط مرزی در جهت حرکت سیال، پریودیک است. محورهای اصلی انتخابی مسئله در راستای جریان سیال و عمود بر راستای جریان سیال هستند. سرعت جریان سیال بالا در شروع محاسبات به صورت پروفیل سه‌موی است. همچنین در راستای جریان، گرادیان فشار وجود ندارد. آرایش اولیه قطرات در زمان صفر در شکل (۲) نشان داده شده است.

جریان سیال دو فازی ذرات تغییر شکل پذیر توسط معادله پیوستگی و معادلات ناویر استوکس بیان می‌شود. معادلات حاکم باید در فرم بقایی با فرض خصوصیات فیزیکی متغیر نوشته شوند. لازم به ذکر است برای کل میدان جریان چند فازی یک دسته معادلات بقا استفاده می‌شود. معادله بقای جرم در فرمی که برای یک میدان چند بعدی معتبر باشد به صورت (۱) است:

$$\frac{\partial}{\partial t}(\rho) + \nabla \cdot (\rho \mathbf{u}) = 0 \quad (1)$$

در این رابطه ρ چگالی سیال و \mathbf{u} میدان سرعت است. فرض می‌کنیم که قطرات و سیال خارجی تراکم ناپذیر و غیرقابل اختلاط هستند. لذا معادله بقای جرم به فرم ساده (۲) تبدیل می‌گردد:

می شوند. به عبارت دیگر سرعت نقاط جبهه از روی سرعت موجود در شبکه ثابت میانیابی می گردد و سپس به وسیله سرعت بدست آمده نقاط جبهه به روش لاگرانژی حرکت داده می شوند. با حرکت جبهه تحت تأثیر میدان جریان، نقاط مشخص کننده جبهه ممکن است از هم فاصله گرفته و یا به همدیگر نزدیک شوند. این امر باعث ایجاد خطای هنگام محاسبه شعاع انحنای سطح می گردد. برای ثابت نگه داشتن تمرکز نقاط جبهه، هنگامی که فاصله بین آنها زیاد می شود، نقاط جدید بین آنها اضافه می گردد و هنگامی که فاصله بین آنها از مقدار معینی کمتر می شود، نقاط زائد جبهه حذف می گردند. به کمک جبهه می توان میدان چگالی و میدان چسبندگی را برای شبکه ثابت در هر مرحله از محاسبات تعیین کرد. به عبارت دیگر با توجه به موقعیت جبهه در هر مرحله، نقاطی از شبکه ثابت که در داخل جبهه قرار می گیرند دارای خصوصیات سیال داخلی و نقاطی که در خارج از جبهه قرار می گیرند دارای خصوصیات سیال خارجی هستند.

۴- انرژی اغتشاشی و درصد حضور قطرات

عبارت دمای گرانولار^{۱۲} یا انرژی اغتشاشات بیانگر انرژی برخورد تصادفی قطرات است. دما در جریان گرانولار برگرفته از منحنی سرعت است. به عبارت ساده‌تر سرعت اغتشاشی (یا نوسانی) با میزان دما رابطه مستقیم دارد. [۱۵] دمای گرانولار با استفاده از رابطه (۸) محاسبه می شود:

$$T_G = \frac{u_x'^2 + u_y'^2}{ga} \quad (8)$$

لازم به ذکر است منحنی دمای گرانولار از متوسط گیری دمای گرانولار محلی برای هر مرحله زمانی به دست می آید. برروی دمای گرانولار نرخ برش و تعداد برخورد بین ذرات تأثیر گذار هستند، که در این تحقیق به دلیل بالا بودن نسبت چسبندگی تأثیرگذاری نرخ برش ببروی دمای گرانولار بیشتر است. لذا انتظار می رود در نزدیک دیواره ها که نرخ برش زیادتر است، مقدار دمای گرانولار بیشینه شود.

برای به دست آوردن مؤلفه های نوسانی سرعت، سرعت

خواص فیزیکی سیال محیطی و ارتفاع کanal به صورت (۴) تعریف می گردد. عدد رینولدز بر حسب سرعت مشخصه تعریف شده به صورت (۵) و عدد کاپیلاری به صورت (۶) محاسبه می گردد. همچنین نسبت طول کanal به نسبت شعاع قطرات نیز یک پارامتر بی بعد است. در این تحقیق مقدار آن ثابت است و به صورت (۷) محاسبه می گردد:

$$U_c = \frac{\rho_0 g H^2}{2\mu_0} \quad (4)$$

$$Re = \frac{\rho_0^2 g H^3}{2\mu_0^2} \quad (5)$$

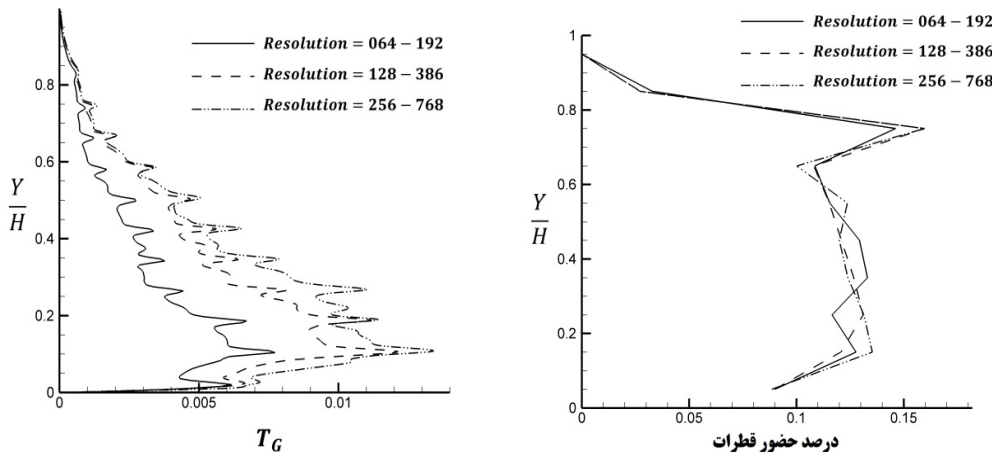
$$Ca = \frac{\rho_0 g H^2}{2\sigma} \quad (6)$$

$$\frac{D}{H} = \frac{0.1m}{3.0m} = 0.3333 \quad (7)$$

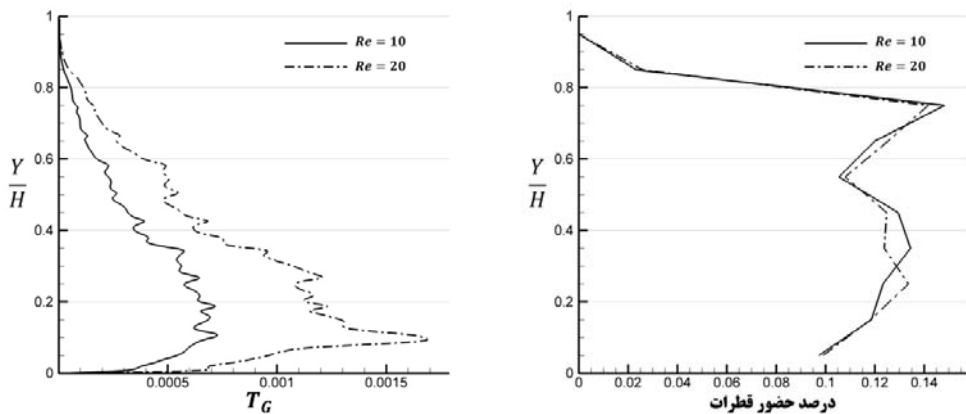
۳- روش عددی

معادلات حاکم بر جریان قطرات بر روی سطح شیبدار به روش عددی تفاضل محدود^۵ / پی جویی جبهه تشبیه سازی می گردد که توسط آنوردی و تریگواسون [۱۳] توسعه داده شده است. عبارت پخش^۶ و جابجایی^۷ هر دو به صورت تفاضل محدود مرکزی که دارای دقت مرتبه دوم است، گستته سازی می شوند. در گام برداری زمانی از روش پیش بینی کننده اصلاح کننده مرتبه دوم^۸ استفاده می شود. با توجه به اینکه جریان مورد بررسی تراکم ناپذیر است، برای حل معادلات ناویر استوکس از روش تصویر سازی مرتبه دوم استفاده شده است. معادله بیضوی برای فشار توسط روش چند شبکه ای^۹ که توسط آدامز معرفی شده است، حل می شود.

برای تعیین دقیق مرز بین قطرات و سیال محیطی و محاسبه دقیق کشش سطحی، از یک شبکه جابجا شده^{۱۰} استفاده می شود به گونه ای که مرز بین قطرات و سیال محیطی به صورت نقاط نشانه دار^{۱۱} متصل به هم نشان داده می شوند. این نقاط (جهه) تحت تأثیر میدان جریان به طریق لاگرانژی حرکت داده



شکل ۳- بررسی تأثیر شبکه محاسباتی بر نتایج شبیه سازی عددی برای $Re=20, Ca=0.8, \alpha=30^\circ, \lambda=2.0, \gamma=8.0$



شکل ۴- تأثیر عدد رینولدز برای $Ca=0.8, \alpha=10^\circ, \lambda=2.0, \gamma=3.0$

محاسباتی 256×768 ، 64×192 و 128×384 صورت گرفته است. پارامترهای جریان برابر $Re = 20$ ، $Ca = 0.8$ ، $\alpha = 10^\circ$ ، $\lambda = 2.0$ ، $\gamma = 3.0$ است. نتایج تعادلی به دست آمده از دو شبکه محاسباتی 256×768 و 128×384 که در شکل (۳) نشان داده شده است تقریباً یکسان است. مشاهده می شود که شبکه محاسباتی تأثیر چندانی بر روی نتایج به دست آمده ندارد.

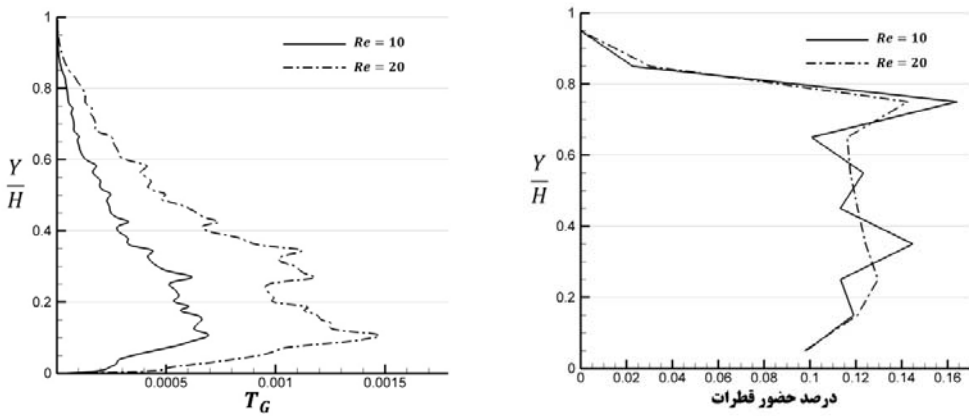
۵-۱- تأثیر عدد رینولدز بر رفتار قطرات
به منظور بررسی اثر عدد رینولدز در شکل های (۴) الی (۷) انرژی اغتشاشی و درصد حضور قطرات برای اعداد رینولدز $Re=10, 20$ و $Ca=0.8$ در $\alpha=10^\circ, \lambda=2.0, \gamma=3.0$ و $\theta=30^\circ$ رسم

متوسط جریان از سرعت در هر نقطه کسر شده و از آن در راستای جریان متوسط گیری می گردد.

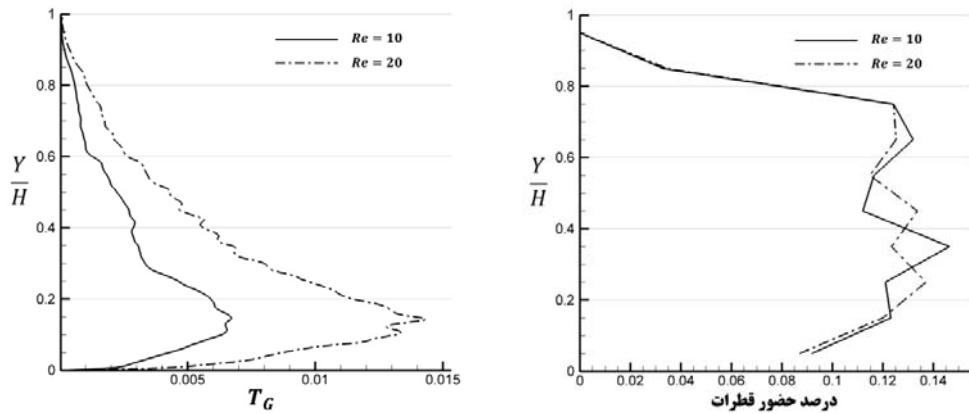
برای محاسبه درصد چگالی قطرات، طول کanal به ده نوار مساوی تقسیم شده است و درصد حضور قطرات در هر نوار تعیین و در نهایت نسبت به زمان متوسط گیری شده است.

۵- نتایج

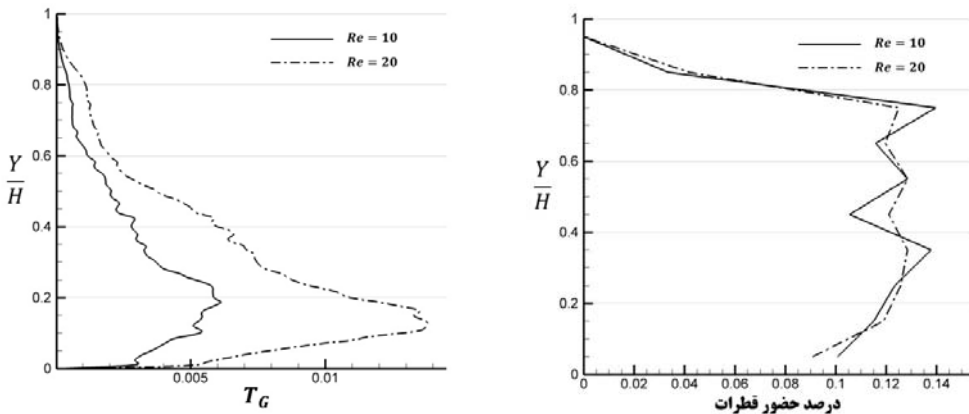
۵-۱- بررسی تمرکز شبکه
برای شبیه سازی عددی از شبکه محاسباتی 128×384 استفاده شده است. به منظور اطمینان از عدم وابستگی نتایج به شبکه محاسباتی مورد استفاده، یک شبیه سازی توسط سه شبکه



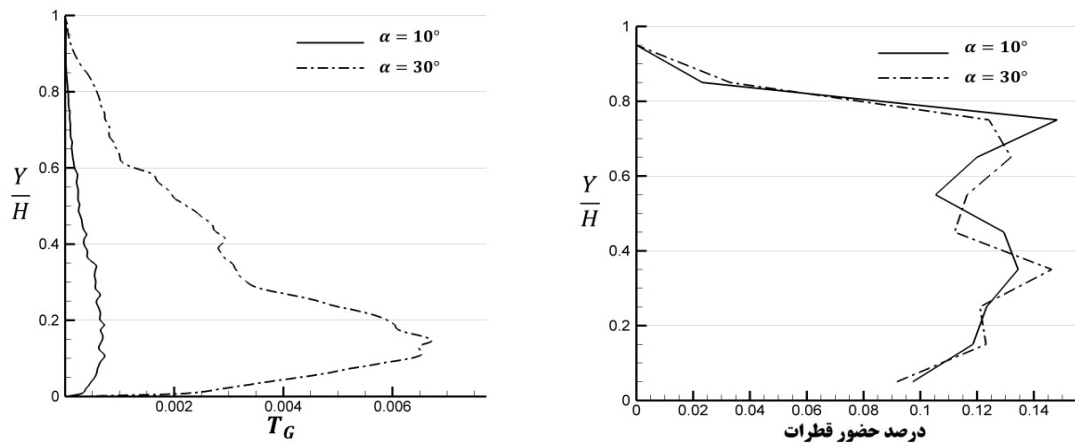
شکل ۵- تأثیر عدد رینولدز برای $Ca=0.8, \alpha=10^\circ, \lambda=2.0, \gamma=4.0$



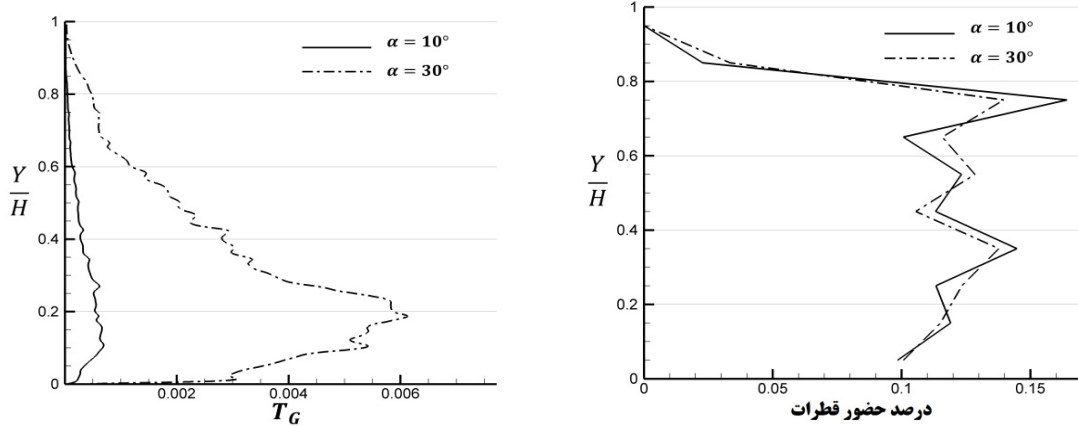
شکل ۶- تأثیر عدد رینولدز برای $\gamma=3.0, Ca=0.8, \alpha=30^\circ, \lambda=2.0$



شکل ۷- تأثیر عدد رینولدز برای $Ca=0.8, \alpha=30^\circ, \lambda=2.0, \gamma=4.0$



شکل ۸- تأثیر زاویه شیب سطح برای $Re=10, Ca=0.8, \lambda=2.0, \gamma=3.0$

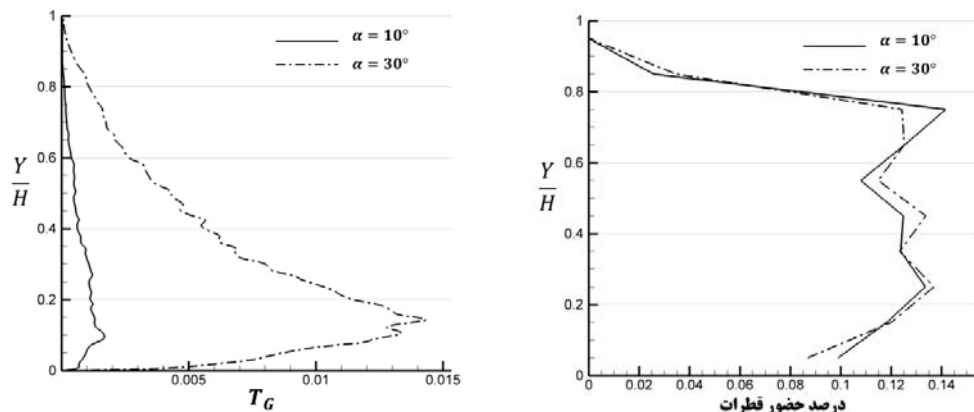


شکل ۹- تأثیر زاویه شیب سطح برای $Re=10, Ca=0.8, \lambda=2.0, \gamma=4.0$

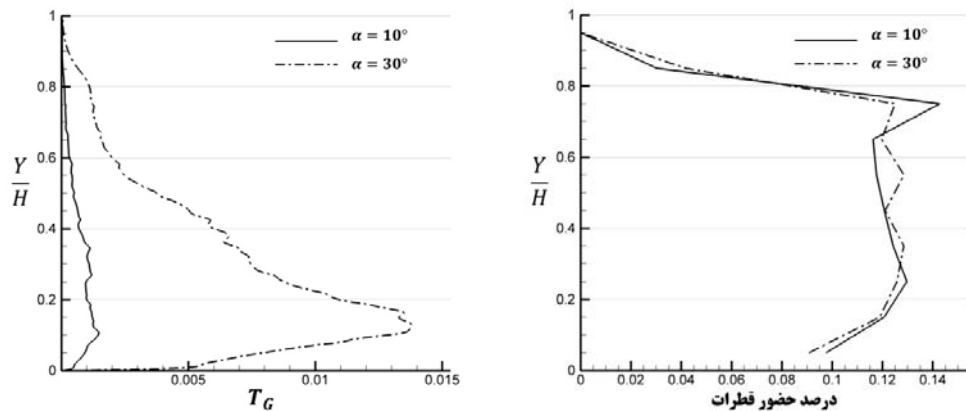
انرژی اغتشاشی و درصد حضور قطرات برای زاویه شیب سطح $\alpha=10^\circ, 30^\circ$ در $Re=20, 10$ و $Ca=0.8$ و $\lambda=2, 4, 3$ و $\gamma=8, 4, 3$ رسم شده است. مشاهده می شود که با افزایش زاویه شیب سطح انرژی اغتشاشی سیستم افزایش می یابد. با افزایش عدد رینولدز از مرکز قطرات در نزدیکی دیواره و سطح آزاد کاسته می شود. به عبارت دیگر با افزایش عدد رینولدز قطرات از دیواره و سطح آزاد به سمت نواحی مرکزی کانال مهاجرت می کنند. این مهاجرت به گونه ای است که با افزایش عدد رینولدز فاصله تعادلی قطرات از دیواره کانال افزایش می یابد.

شده است. مشاهده می شود که با افزایش عدد رینولدز انرژی اغتشاشی سیستم افزایش می یابد. با افزایش عدد رینولدز از مرکز قطرات در نزدیکی دیواره و سطح آزاد کاسته می شود. به عبارت دیگر با افزایش عدد رینولدز قطرات از دیواره و سطح آزاد به سمت نواحی مرکزی کانال مهاجرت می کنند. این مهاجرت به گونه ای است که با افزایش عدد رینولدز فاصله تعادلی قطرات از دیواره کانال افزایش می یابد.

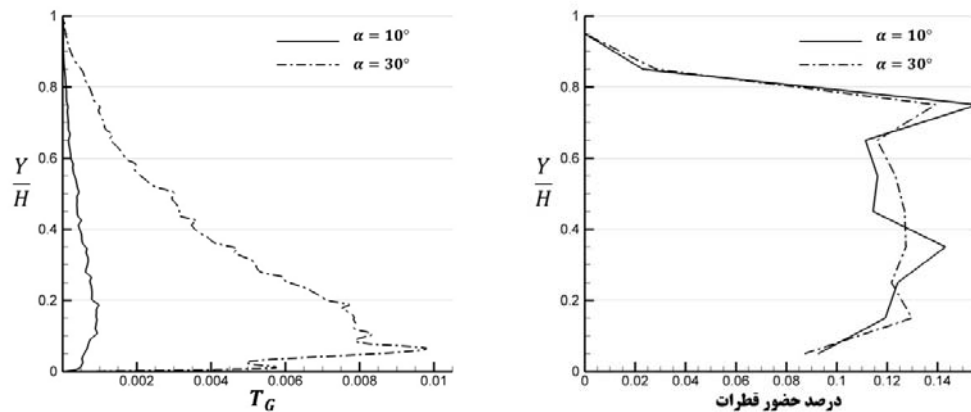
۳-۵- تأثیر زاویه شیب سطح بر رفتار قطرات
به منظور بررسی اثر زاویه شیب سطح در شکل ۸ تا شکل ۱۲



شکل ۱۰ - تأثیر زاویه شیب سطح برای $Re=20, Ca=0.8, \lambda=2.0, \gamma=3.0$



شکل ۱۱ - تأثیر زاویه شیب سطح برای $Re=20, Ca=0.8, \lambda=2.0, \gamma=4.0$



شکل ۱۲ - تأثیر زاویه شیب سطح برای $Re=20, Ca=0.8, \lambda=2.0, \gamma=8.0$

۶- نتیجه‌گیری

افزایش زاویه شیب سطح انرژی اغتشاشی افزایش می‌یابد. همچنین افزایش عدد رینولدز و یا افزایش زاویه شیب سطح باعث مهاجرت قطرات از لایه‌های نزدیک به دیواره و سطح آزاد به سمت لایه‌های مرکزی جریان می‌شود. این مهاجرت به گونه‌ای است که با افزایش عدد رینولدز و یا افزایش زاویه شیب سطح فاصله تعادلی قطرات از دیواره کanal افزایش می‌یابد.

اثر عدد رینولدز و زاویه شیب سطح در نسبت‌های چسبندگی بالا بر مهاجرت عرضی قطرات در جریان روی سطح شیب دار با تشابه سازی عددی که اثرات اینرسی، چسبندگی و کشش سطحی را در بر می‌گیرد، مطالعه شده است. محاسبات انجام شده نشان‌دهنده این است که با افزایش عدد رینولدز و یا با

واژه‌نامه

| | | |
|---------------------|-------------------------------------|--------------------------|
| 1. Capillary number | 5. finite difference | 9. multi grid |
| 2. Poiseuille flow | 6. diffusion | 10. staggered grid |
| 3. Couette flow | 7. convection | 11. marker points |
| 4. front tracking | 8. second order predictor corrector | 12. Granular temperature |

مراجع

1. Segre, G., and Silberberg, A., "Behaviour of Macroscopic Rigid Spheres in Poiseuille Flow Part 1. Determination of Local Concentration by Statistical Analysis of Particle Passages through Crossed Light Beams", *Journal of Fluid Mechanics*, Vol. 14, pp. 115-135, 1962.
2. Segre, G., and Silberberg, A., "Behaviour of Macroscopic Rigid Spheres in Poiseuille Flow Part 2. Experimental Results and Interpretation", *Journal of Fluid Mechanics*, Vol. 14, pp. 136-157, 1962.
3. Karnis, A., Goldsmith, H. L., and Mason, S. G., "The Kinetics of Flowing Dispersions: I. Concentrated Suspensions of Rigid Particles", *Journal of Colloid and Interface Science*, Vol. 22, pp. 531-553, 1966.
4. Karnis, A., Goldsmith, H. L., and Mason, S. G., "Axial Migration of Particles in Poiseuille Flow", *Nature*, Vol. 200, pp. 159-160, 1963.
5. Karnis, A., Goldsmith, H. L., and Mason, S. G., "The flow of Suspensions Through Tubes: V. Inertial Effects", *The Canadian Journal of Chemical Engineering*, Vol. 44, pp. 181-193, 1966.
6. Hiller, W., and Kowalewski, T. A., "An Experimental Study of the Lateral Migration of a Droplet in a Capping Flow", *Experiments in Fluids*, Vol. 5, pp. 43-48, 1986.
7. Chan, P. C., and Leal, L. G., "The Motion of a Deformable Drop in a Second Order Fluid", *Journal of Fluid Mechanics*, Vol. 92, pp. 131-170, 1979.
8. Brady, J. F., and Bossis, G., "Stokesian Dynamics", *Annual Review of Fluid Mechanics*, Vol. 20, pp. 111-157, 1988.
9. Zhou, H., and Pozrikidis, C., "The Flow of Suspensions in Channels: Single Files of Drops", *Physics of Fluids A: Fluid Mechanics*, Vol. 5, pp. 311-324, 1993.
10. Zhou, H., and Pozrikidis, C., "The Flow of Ordered and Random Suspensions of Two-Dimensional Drops in a Channel", *Journal of Fluid Mechanics*, Vol. 255, pp. 103-127, 1993.
11. Charles, R., and Pozrikidis, C., "Significance of the Dispersed-Phase Viscosity on the Simple Shear Flow of Suspensions of Two-Dimensional Liquid Drops", *Journal of Fluid Mechanics*, Vol. 365, pp. 205-234, 1998.
12. Lowenbeg, M., and Hinch, E. J., "Numerical Simulation of a Concentrated Emulsion in Shear Flow", *Journal of Fluid Mechanics*, Vol. 321, pp. 395-419, 1996.
13. Unveerdi, S. O., and Tryggvason, G., "Computations of Multi-Fluid Flows", *Physica D: Nonlinear Phenomena*, Vol. 60, pp. 70-83, 1992.
14. Mortazavi, S. S., and Tryggvason, G., "A Numerical Study of the Motion of Drops in Poiseuille Flow. Part 1. Lateral Migration of One Drop", *Journal of Fluid Mechanics*, Vol. 411, pp. 325-350, 2000.
15. Campbell, C. S., and Brennen, C. E., "Chute Flows of Granular Material; Some Computer Simulation", *Journal of Applied Mechanics*, Vol. 52, pp. 172-178, 1985.
16. Mortazavi, S. S., Afshar, Y., and Abbaspour, H., "Numerical Simulation of Two-Dimensional Drops Suspended in Simple Shear Flow at Non-Zero Reynolds Numbers", *Journal of Fluid Engineering*, Vol. 133, pp. 31-39, 2011.
17. Nourbakhsh, A., Mortazavi, S. S., and Afshar, Y., "Three-Dimensional Numerical Simulation of Drops Suspended in Poiseuille Flow at Non-Zero Reynolds Numbers", *Physics of Fluids*, Vol. 23, pp. 3-11, 2011.